

超新星爆発と核物理・ニュートリノ： 3次元ニュートリノ輻射輸送計算コードの開発

沼津高専・住吉光介
京都大・中里健一郎
早稲田大・山田章一
東京理科大・鈴木英之
(協力：KEK・松古栄夫)

超新星爆発メカニズム解明へ連携研究

- クォーク原子核物理
- 状態方程式, ν 核反応

A01, A02

- 親星の進化モデル
- 質量, 金属量

A03

- 大規模数値シミュレーション
- ニュートリノ輻射流体, GR, ... 並列計算技術

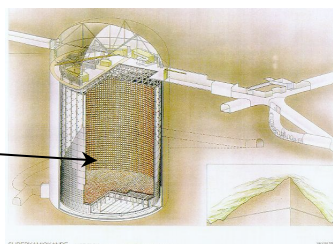
A04

爆発・高密度天体



SN1987A

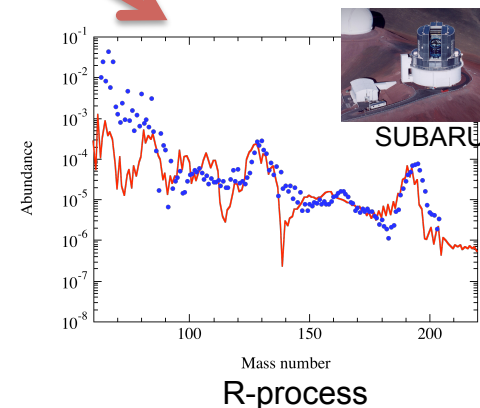
ニュートリノ



<http://www-sk.icrr.u-tokyo.ac.jp/>

Super-Kamiokande

元素合成

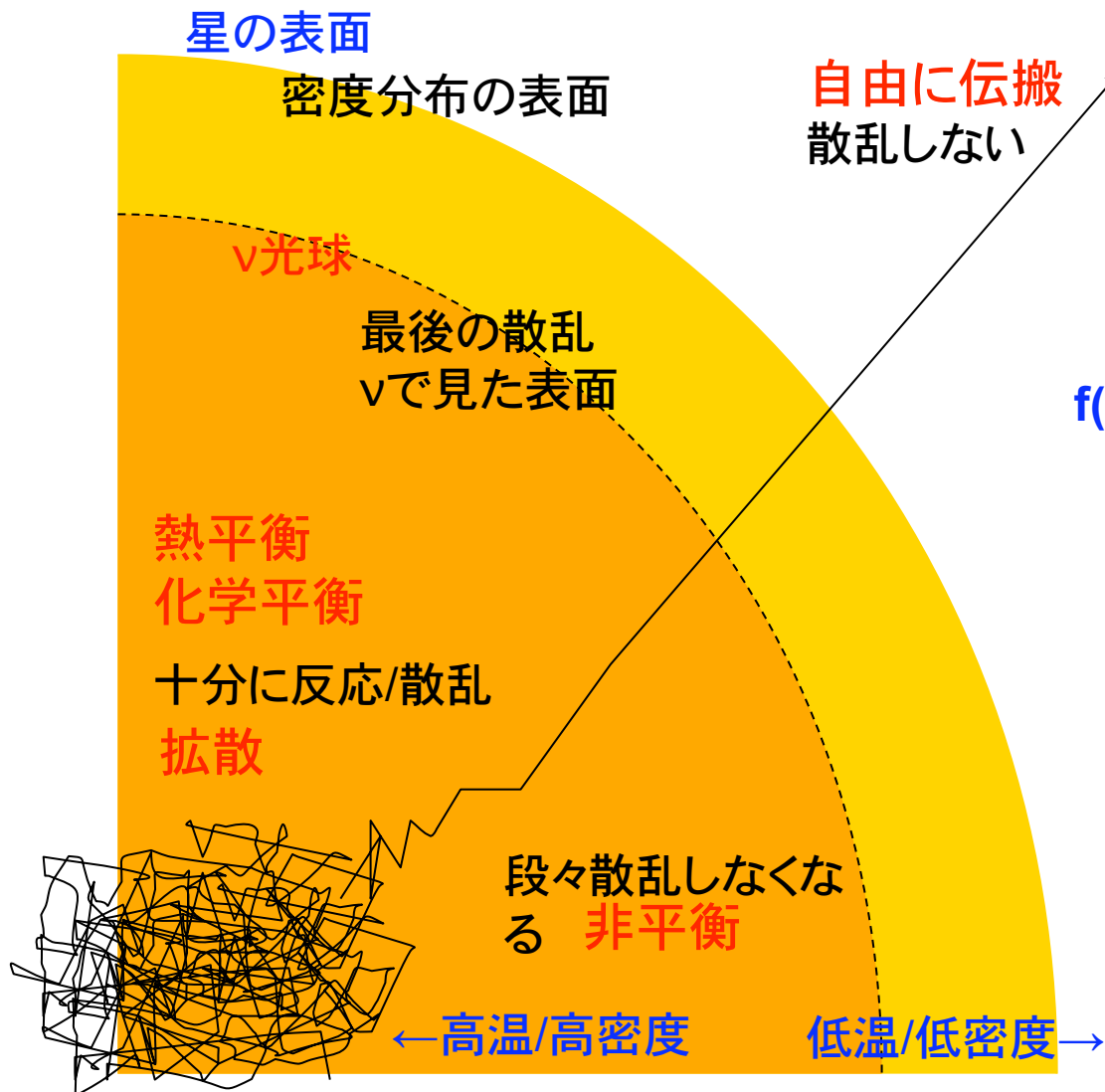


研究の方向

- **球対称: 重力崩壊現象の系統的な解明**
 - 第一原理計算 (GR- ν 輻射流体)
 - クォーク・原子核物理の影響を検証
 - ニュートリノ検出シグナルの予測
 - 大質量星で元素合成へダイナミクスの作成
- **多次元: 超新星爆発メカニズムの解明**
 - 3次元ニュートリノ輻射輸送計算コードの開発
 - 大規模並列計算技術・行列解法アルゴリズム
 - 3次元での重力崩壊・爆発シミュレーション

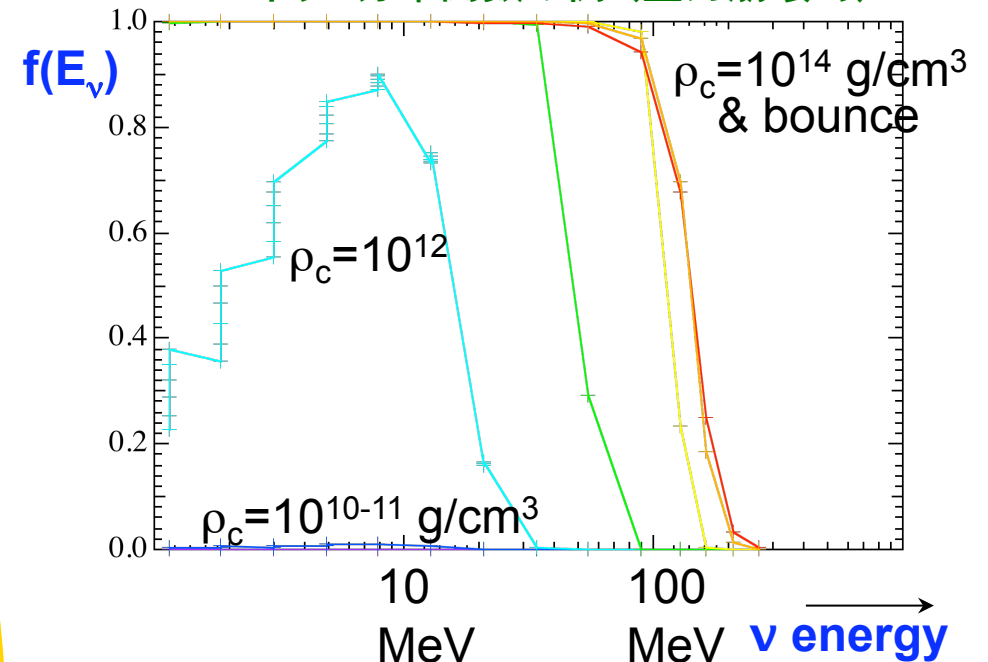
ν 輻射輸送計算

- 星内部から ν が出てくるまで(ν 輻射輸送方程式)
 - ν の空間・運動量・方向分布を追う $f(t,x,y,z,p_x,p_y,p_z)$: 6+1次元問題



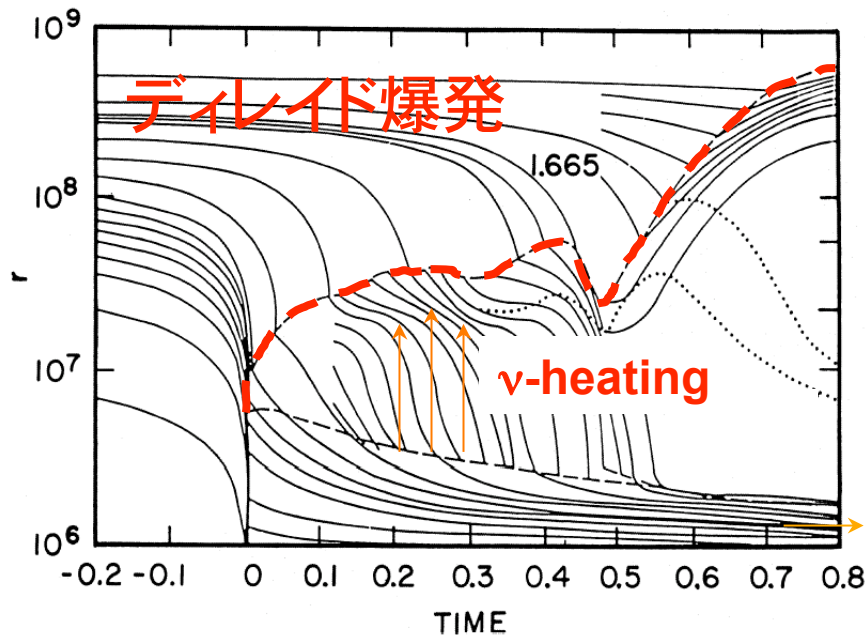
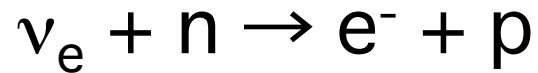
- ν の伝搬を追う
- ν 散乱・吸収・放出反応 (電子・陽子・中性子・原子核)を追う

ニュートリノ分布関数の例 (重力崩壊時)



ν 加熱メカニズム: 中間領域が重要

- ν 輸送 + ν 反応率 \cdot EOS \rightarrow ν -flux \cdot 加熱率



自由伝搬

ν

衝撃波

加熱領域

ν 光球

拡散

ν 加熱メカニズム: 中間領域が重要

- ν 輸送 + ν 反応率 \cdot EOS \rightarrow ν -flux \cdot 加熱率

ニュートリノ角度分布の
等方・非等方性

- 加熱率

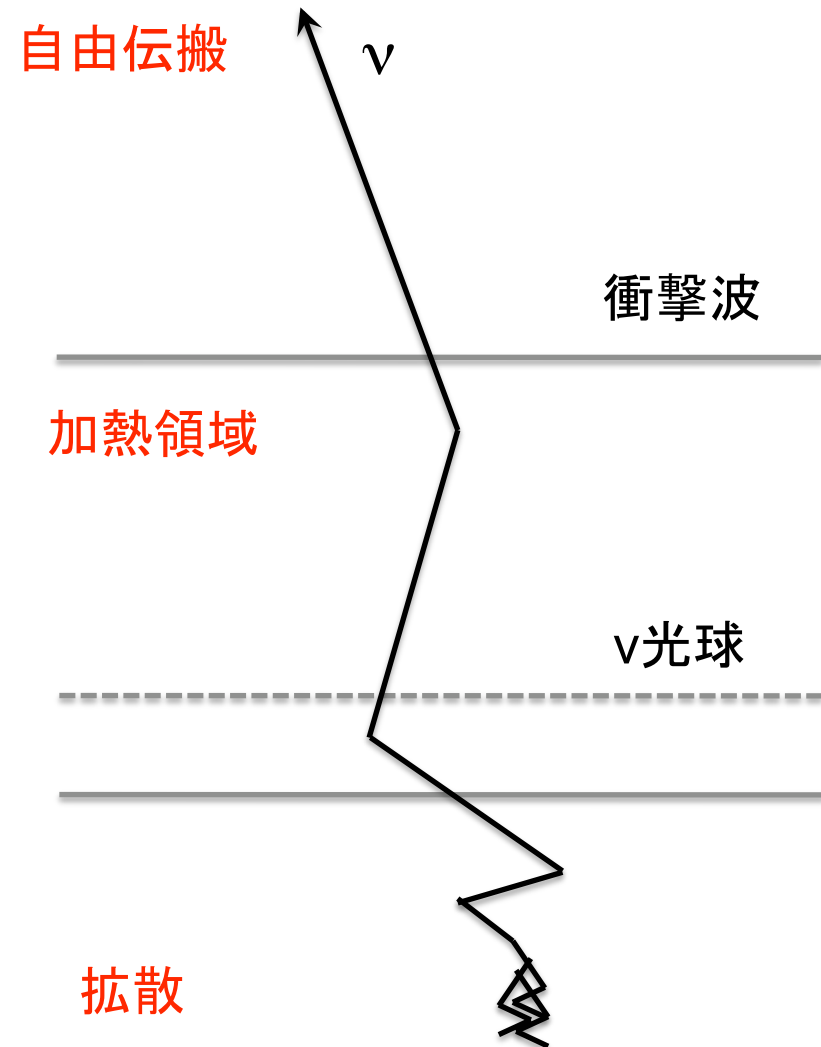
$$Q_\nu^i \approx 110 \frac{\text{MeV}}{\text{s} \cdot N} \left(\frac{L_\nu E_\nu^2}{R_7^2 \langle \mu \rangle} X_i \right)$$

Flux factor $\langle \mu \rangle = \langle \cos \theta_\nu \rangle = 0 \sim 1$

- ν 圧力-エネルギー

$$p_\nu = f \epsilon_\nu$$

Eddington factor $f = \langle \cos^2 \theta_\nu \rangle = \frac{1}{3} \sim 1$



ニュートリノ輻射輸送：現在の状況

- 1D: 第一原理計算

- GR neutrino-radiation hydrodynamics

- Microphysicsの検証、系統的な研究

- Liebendoerfer, Sumiyoshi-Yamada-Nakazato

- 2D: 近似的な計算法

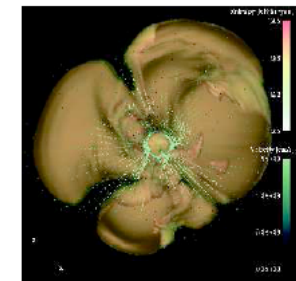
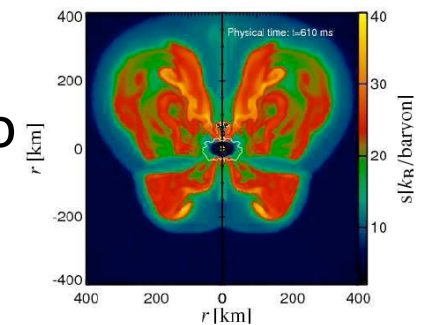
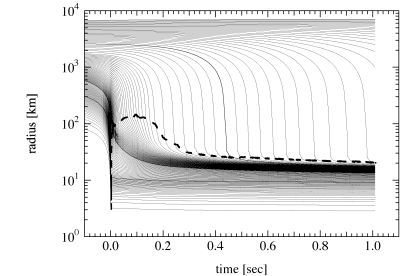
- Flux limited diffusion / Ray-by-Ray method

- Burrows, Marek-Janka, Suwa-Kotake

- 3D: 簡単な扱い

- Light bulb, neutrino-heating, Ray-tracing method

- Blonding-Mezzacappa, Iwakami-Ohnishi-Kotake

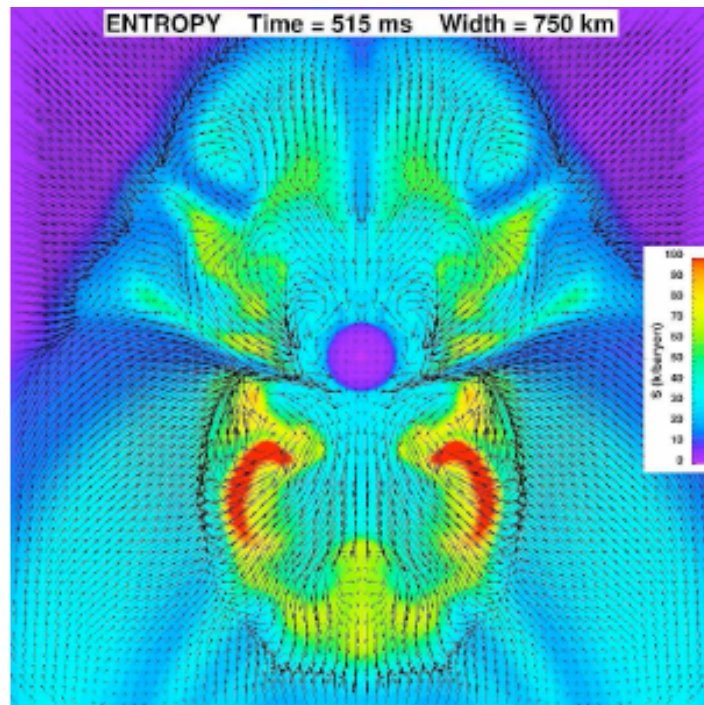


爆発の2例: 互いに異なるメカニズム

Explosions after ~500ms

Acoustic Powered

Burrows et al. ApJ 640 (2006) 878

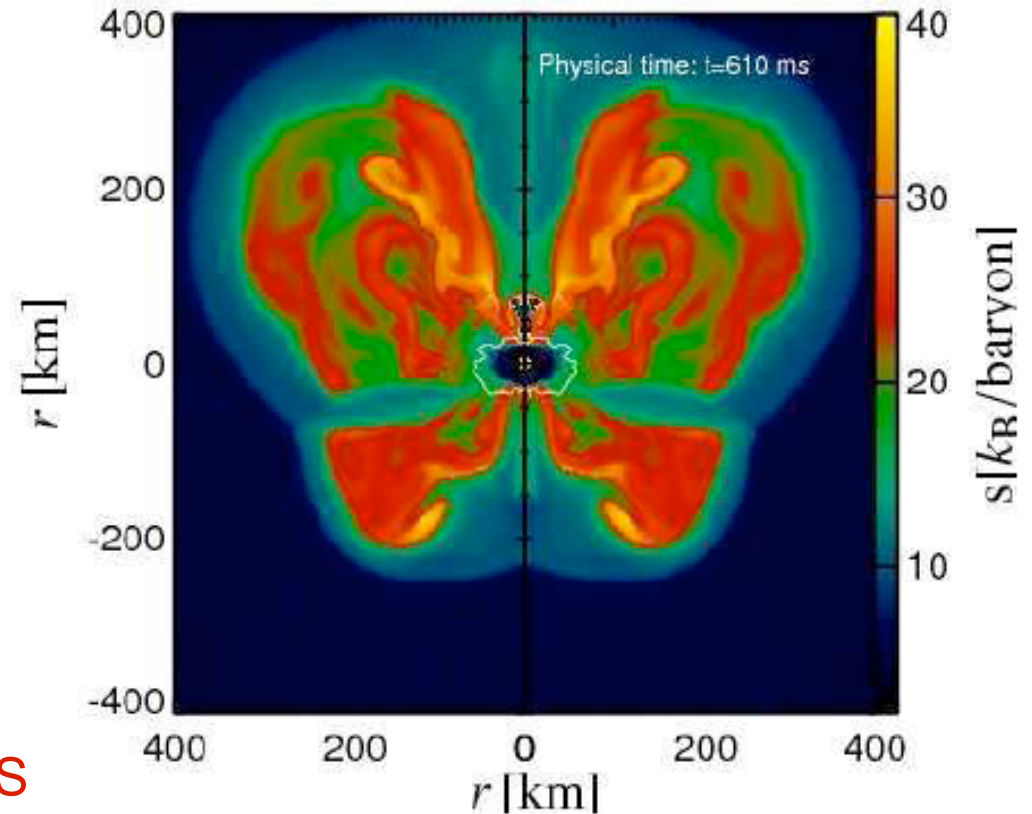


$11M_{\text{solar}}$ without rotation Shen-EOS

Flux-limited diffusion method

SASI + Neutrino-heating

Marek-Janka, ApJ 694 (2009) 664



$15M_{\text{solar}}$ with rotation LS-EOS

Ray-by-ray method

Not settled yet: 異なる計算法, ミクロ物理, 近似 ν 輻射+流体計算

3次元での超新星爆発計算へ

- 2次元流体＋ニュートリノ輸送
 - 系統的な探索：初期モデル・核物理依存性
- 最終的な答えには3次元輻射流体計算
 - 爆発メカニズムの本質は3次元？
 - 2次元で爆発しても確認は必要
- 3次元ニュートリノ輻射輸送計算
 - 球対称／2次元／近似法との違いを明らかに
 - 爆発への影響（ニュートリノ加熱など）
 - 流体と組み合わせ：重力崩壊・爆発・中性子星

3次元輻射輸送計算

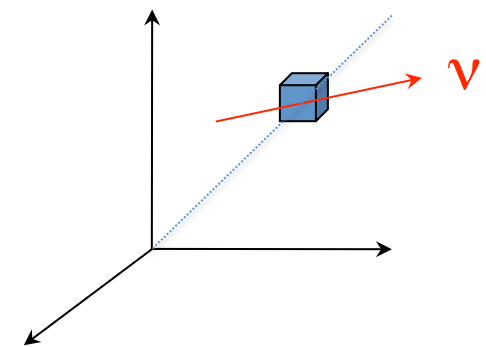
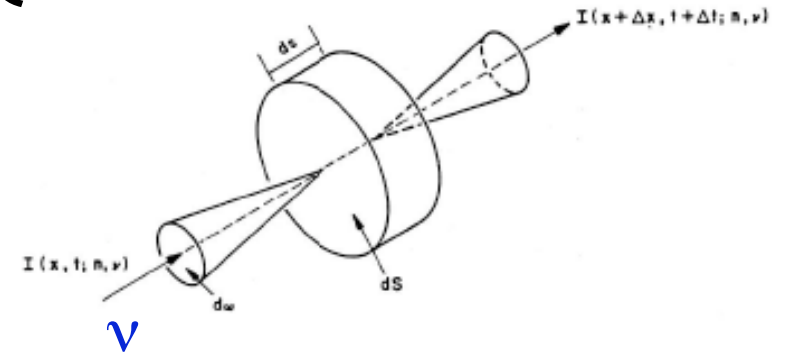
- 6次元ニュートリノ分布の時間発展

$$\frac{1}{c} \frac{\partial f_\nu}{\partial t} + \vec{n} \cdot \vec{\nabla} f_\nu = \frac{1}{c} \left(\frac{\delta f_\nu}{\delta t} \right)_{collision}$$

- 左辺: ニュートリノ数の変動
- 右辺: ニュートリノ反応による変動(衝突項)

$$f_\nu(r, \theta, \phi; \epsilon_\nu, \theta_\nu, \phi_\nu; t)$$

- 空間3次元 (r, θ, ϕ)
- ニュートリノエネルギー1変数 (ϵ_ν)
- ニュートリノ角度2変数 (θ_ν, ϕ_ν)



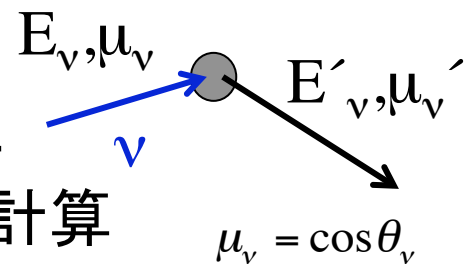
Boltzmann eq. in spherical coordinate

$$\frac{1}{c} \frac{\partial f_\nu}{\partial t} + \frac{\mu_\nu}{r^2} \frac{\partial}{\partial r} (r^2 f_\nu) + \frac{\sqrt{1-\mu_\nu^2} \cos \phi_\nu}{r \sin \theta} \frac{\partial}{\partial \theta} (\sin \theta f_\nu) + \frac{\sqrt{1-\mu_\nu^2} \sin \phi_\nu}{r \sin \theta} \frac{\partial f_\nu}{\partial \phi} + \frac{1}{r} \frac{\partial}{\partial \mu_\nu} [(1-\mu_\nu^2) f_\nu] + \frac{\sqrt{1-\mu_\nu^2} \cos \theta}{r \sin \theta} \frac{\partial}{\partial \phi_\nu} (\sin \phi_\nu f_\nu) = \frac{1}{c} \left(\frac{\delta f_\nu}{\delta t} \right)_{collision}$$

- 保存形: 差分化して解く
- 陰解法: 安定性、時間ステップ、平衡解を保証

- 衝突項: 全てのν吸収・放出・散乱過程

- 散乱前後のエネルギー・角度ごとに積分計算



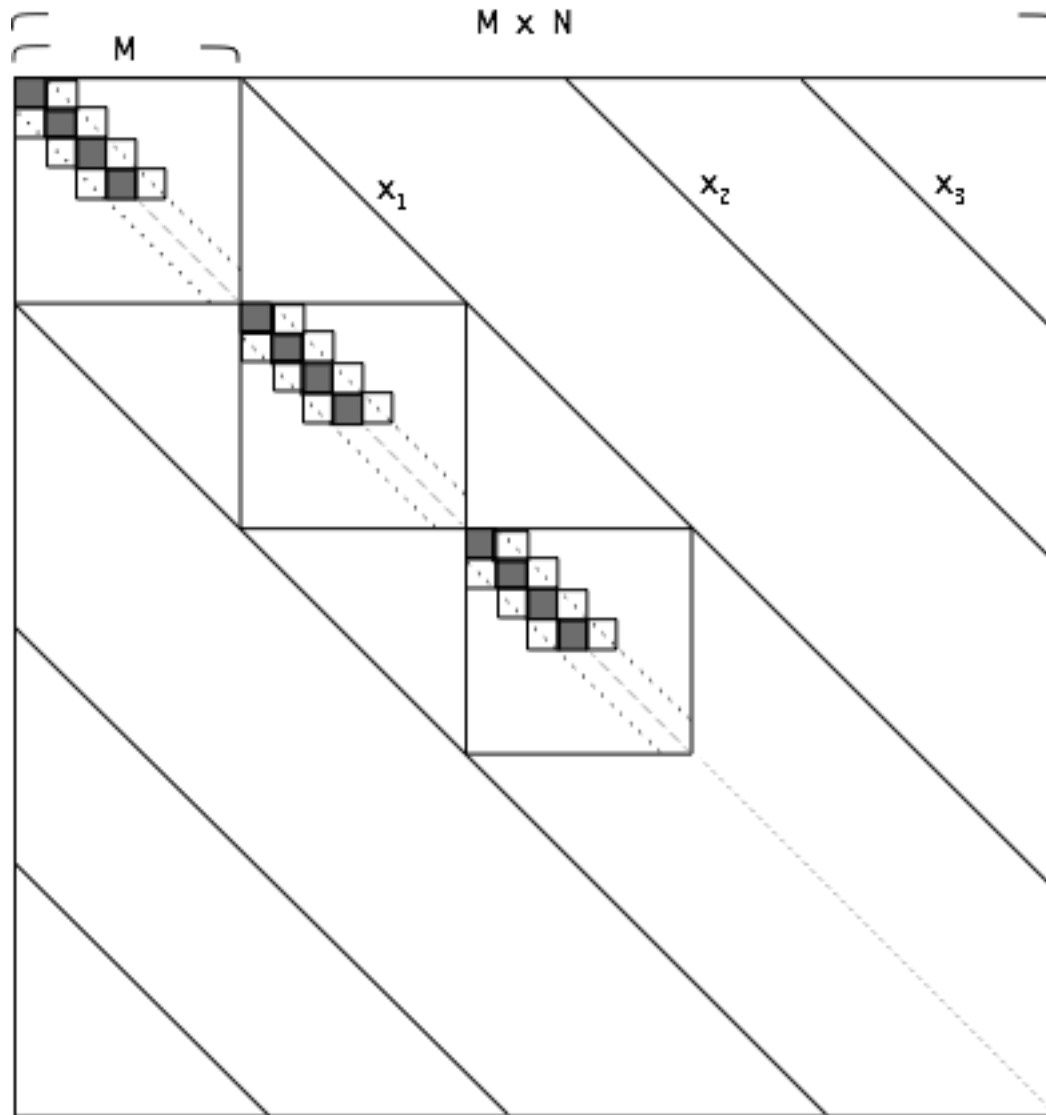
$$\frac{1}{c} \left(\frac{\delta f_\nu}{\delta t} \right)_{collision} = j_{emission} (1 - f_\nu) - \frac{1}{\lambda_{absorption}} f_\nu + C_{scattering} \left[\int f_\nu (E'_\nu, \mu'_\nu) dE'_\nu \right]$$

ニュートリノ分布に関する方程式

- 線形方程式 $A\vec{f}_\nu = \vec{d}$
- ニュートリノ分布
 - 空間変数: r, θ, ϕ
 - $N_{\text{space}} = n_r \times n_\theta \times n_\phi$
 - エネルギー: ε_ν , 角度: θ_ν, ϕ_ν
 - $N_\nu = n_\varepsilon \times n_{\theta_\nu} \times n_{\phi_\nu}$
- 非線形の場合はさらにニュートン法
Pair-processなど

$$\vec{f}_\nu = \begin{pmatrix} f(\varepsilon_1, \theta_{\nu_1}, \phi_{\nu_1}) \\ f(\varepsilon_1, \theta_{\nu_1}, \phi_{\nu_2}) \\ f(\varepsilon_1, \theta_{\nu_1}, \phi_{\nu_3}) \\ f(\varepsilon_1, \theta_{\nu_2}, \phi_{\nu_1}) \\ f(\varepsilon_1, \theta_{\nu_2}, \phi_{\nu_2}) \\ f(\varepsilon_1, \theta_{\nu_2}, \phi_{\nu_3}) \\ \cdot \\ \cdot \\ \cdot \\ f(\varepsilon_2, \theta_{\nu_1}, \phi_{\nu_1}) \\ f(\varepsilon_2, \theta_{\nu_1}, \phi_{\nu_2}) \\ f(\varepsilon_2, \theta_{\nu_1}, \phi_{\nu_3}) \\ f(\varepsilon_2, \theta_{\nu_2}, \phi_{\nu_1}) \\ \cdot \\ \cdot \\ \cdot \\ \cdot \end{pmatrix}$$

大規模行列の解法: 出現する行列パターン



- N : 空間メッシュ数
- M : v 空間メッシュ数
- $M \times M$ の中行列
 - 究極の計算では密行列
 - グレイの小行列は密行列
 - 散乱による角度変更
 - 対角に並ぶ
 - 対角上下の小行列
 - ローレンツ変換でエネルギーのシフト
- 空間差分による線
 - x_1, x_2, x_3 方向

計算規模: ベクトルサイズ \vec{f}_v

- 空間変数: r, θ, ϕ
 - $N = n_r \times n_\theta \times n_\phi = 300 \times 50 \times 100 = 1.5$ Mpoints
- エネルギー・角度: $\varepsilon_v, \theta_v, \phi_v$
 - $M = n_\varepsilon \times n_{\theta_v} \times n_{\phi_v} = 15 \times 12 \times 12 = 2160$ grids
- ニュートリノ種類: $(\nu_e, \bar{\nu}_e, \nu_{\mu/\tau}, \bar{\nu}_{\mu/\tau})$
 - $N_f = 4$
- ニュートリノ分布の保存: $\sim 100\text{GB} / 1\text{step}$
 - ストレージ、可視化の問題

計算規模：行列サイズ・演算

- 大規模行列のサイズ
 - 角度部分のみ小密行列
 - $(12 \times 12)^2$ at 15x1.5Mpoints = 3.7 TB
- 反復法による線形方程式解法
 - 前処理として小密行列直接解法
 - $(12 \times 12)^3$ at 15x1.5Mpoints = 67 Tera-operations
- **少なくとも ~100Tflops は必要**
 - フル計算：エネルギー一部分も密と考えると
 $(12 \times 12 \times 15)^3$ at 1.5Mpoints = 15 Peta-operations
- 次世代スパコンへ：1~10Pflops

多次元計算コードの開発状況

- 輸送＋衝突項の基本部分は出来て、テスト中。

	空間2次元(軸対称) ニュートリノ3次元	空間3次元(球座標) ニュートリノ3次元
輸送項: テスト問題	Done	Working
衝突項: ニュートリノ反応組込み	Done	To be Done
衝突項: ローレンツ変換の扱い	Partly done	Planned

－テスト例

- 輸送項: 拡散近似や光線を記述できるか
- 衝突項: ν 反応の詳細釣り合い、球対称との比較

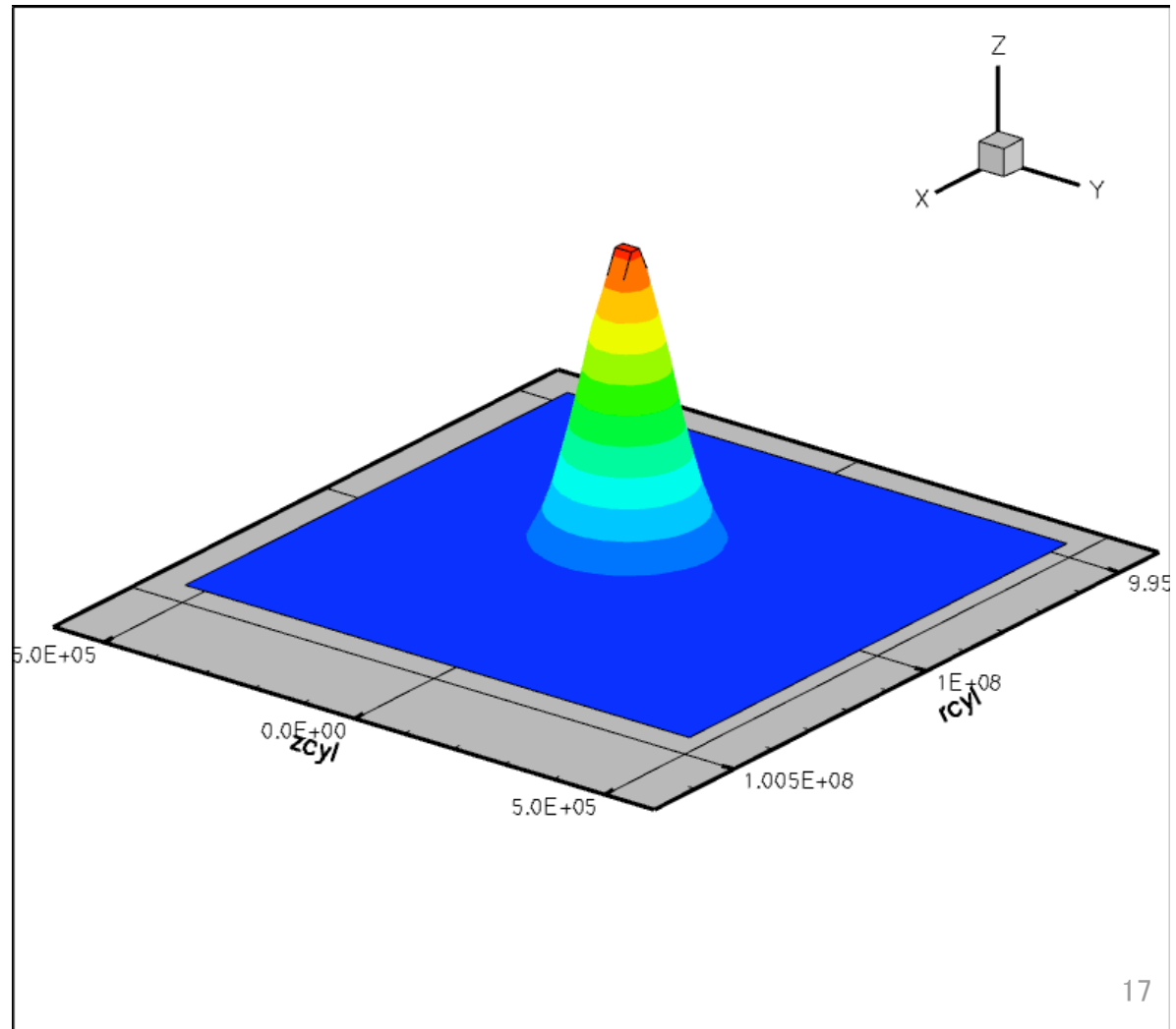
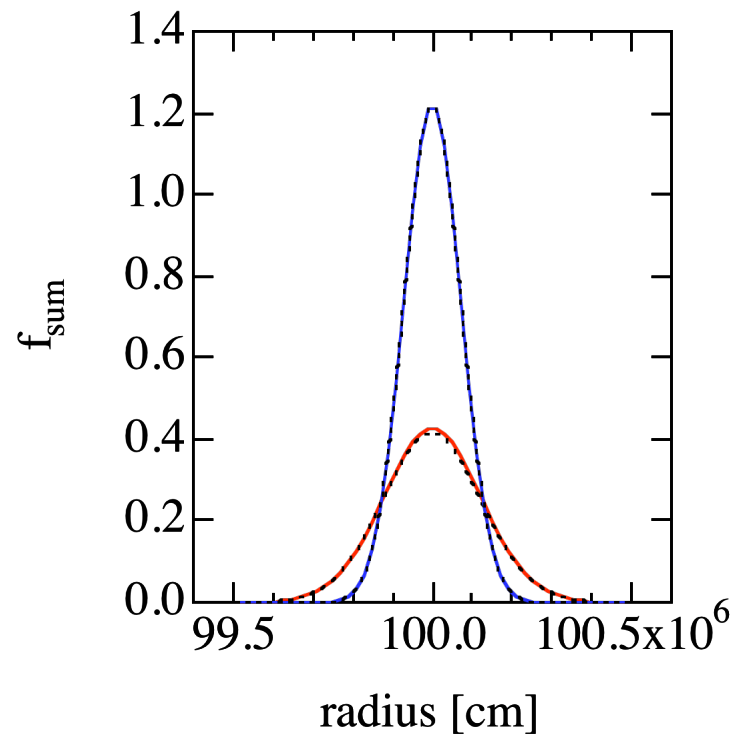
Test of diffusion: 2D-Gauss packet

XY=10km x10km: $N_{\text{spc}}=50 \times 48$, $N_v=12 \times 12 \times 4$

- Isotropic Scattering

- Initial: Gaussian

- $\lambda_{\text{mfp}}=10$ m

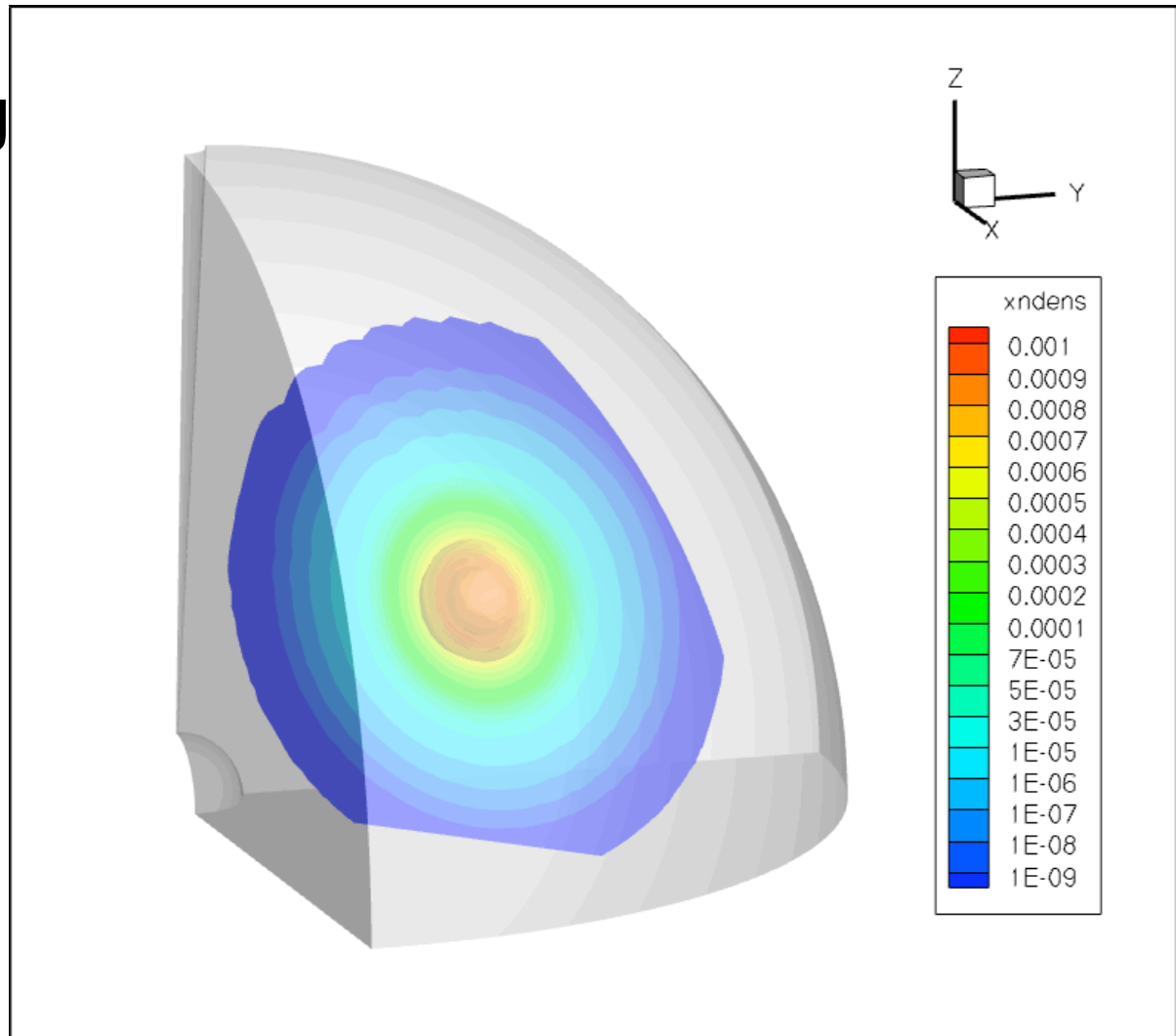


Test of diffusion: 3D-Gauss packet

$$R=10\text{km}: N_{\text{spc}}=50 \times 36 \times 36, N_{\text{v}}=12 \times 12 \times 4$$

$r \quad \theta \quad \phi \quad \theta_{\text{v}} \quad \phi_{\text{v}} \quad \varepsilon_{\text{v}}$

- Isotropic Scattering
 - Initial: Gaussian
 - Diffuse out
- Calc. data
 - $t=0 \sim 9 \times 10^{-5} \text{ s}$
 - $\Delta t = 1 \times 10^{-8} \text{ s}$
 - 9×10^3 steps
 - Memory: 50GB
 - SX9 4cpu, 18h

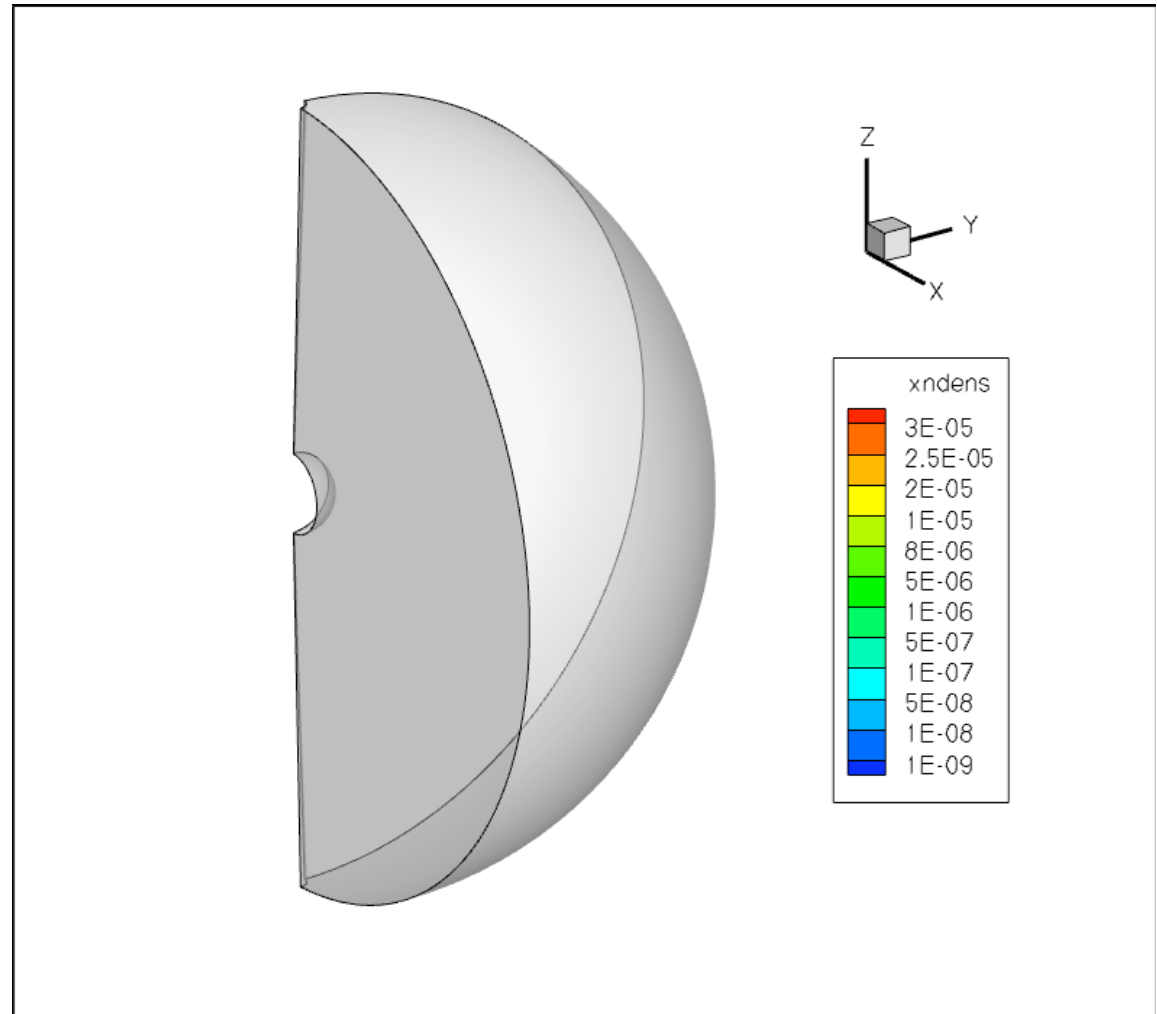


Test of free-streaming: 3D beam

$$R=10\text{km}: N_{\text{spc}}=50 \times 72 \times 36, N_{\text{v}}=12 \times 12 \times 4$$

$r \quad \theta \quad \phi \quad \theta_{\text{v}} \quad \phi_{\text{v}} \quad \varepsilon_{\text{v}}$

- Neutrino beam
 - Inject from 1-point
 - Propagate freely
- Calc. data
 - $t=0 \sim 1 \times 10^{-4}$ s
 - $\Delta t = 5 \times 10^{-8}$ s
 - 2×10^3 steps
 - Memory: 100GB
 - Sx9 4cpu, 6h



基礎コード開発の見通し

- 必要なグリッド数へ、さらに
 - radial: 2-6倍, phi: 4倍, energy: 3倍
 - total: 24-72倍 memory: 2.4TB-7.2TB
- 並列化とチューニングが必要
 - 現在はMacPro, SX9での自動並列
 - SX9@RCNP, 1TB共有メモリ, 16cpuまで実行可能
 - コードチェックを完了後、MPIで並列化
- 行列解法のアルゴリズム(反復法)
 - 行列のパターン→アルゴリズム研究と連携へ
- 巨大データの扱い、可視化・動画作成

超新星でのニュートリノ反応

輻射輸送の衝突項: ν 個数・エネルギー変化 \rightarrow 物質の加熱冷却

反応率はエネルギー・角度依存

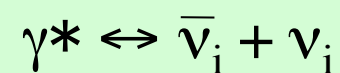
- 放出/吸収:



- 散乱:



- 対生成・消滅:



ニュートリノ核反応データの整備も必要: Bruenn '89, Reddy

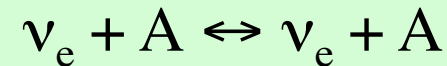
計算コードに組み込み済のニュートリノ反応

重力崩壊時に重要な反応群 (ν_e)

- 放出/吸収:



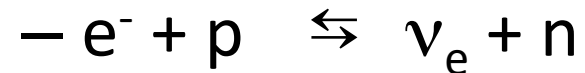
- 散乱:



- 球対称計算と比較してチェック
- 対生成消滅、反ニュートリノの反応を加える予定
- ここ数年の計算資源で扱うための処方:
 - エネルギーが変化する反応は扱わない(電子散乱)
 - 線形方程式の範囲で取り入れる(対生成・消滅)
 - ローレンツ変換の効果は取り入れる

Test of ν -reaction: toward equilibrium

- Neutrino reaction

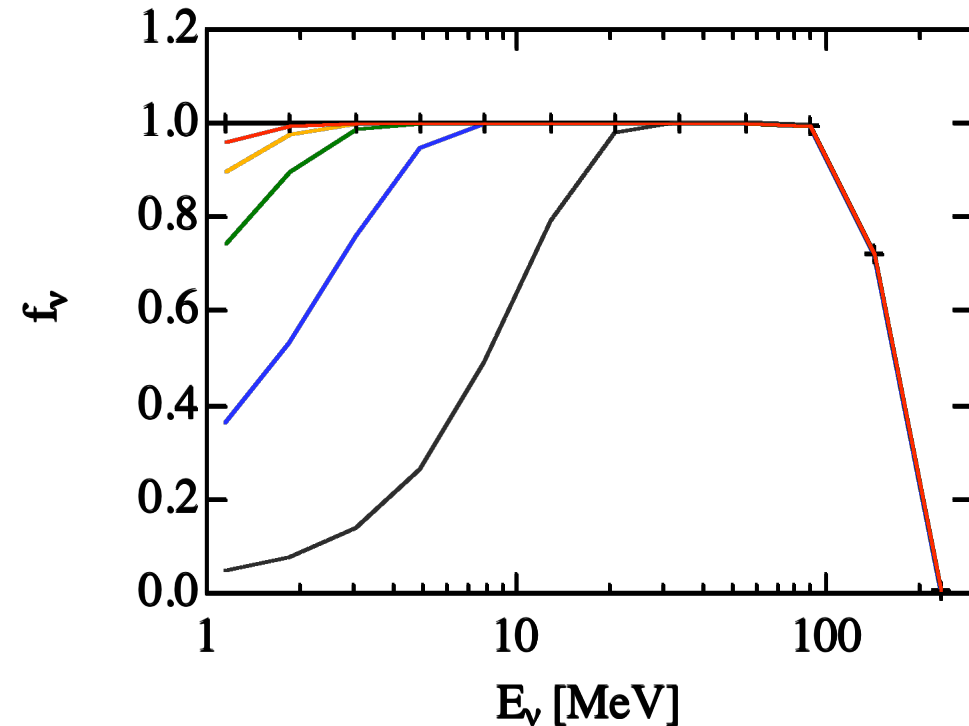


- Calc. Data

- Start from $f=10^{-3}$

- $\Delta t=5 \times 10^{-8}$ s

- 1.4×10^4 steps



Approaching Fermi-Dirac distribution

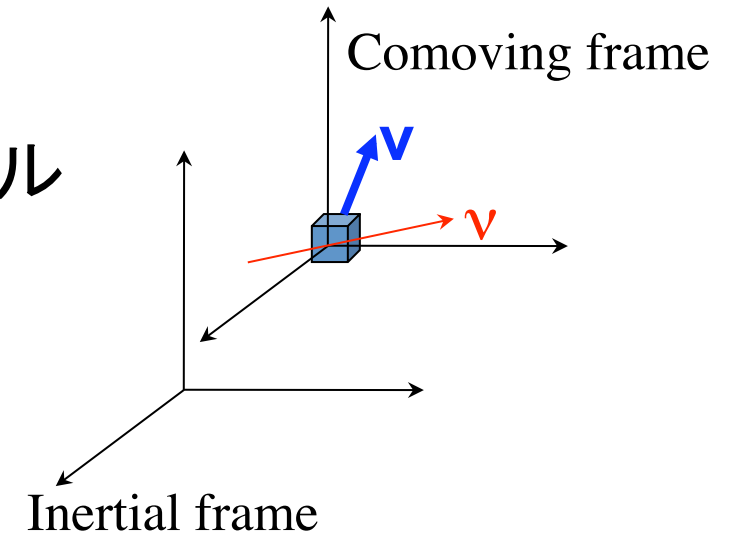
$T=13.4$ MeV, $\mu_\nu=158$ MeV

衝突項とローレンツ変換

- 慣性系での方程式の形はシンプル

$$\frac{1}{c} \frac{\partial f^{in}}{\partial t} + \mathbf{n}^{in} \cdot \nabla f^{in} = \frac{1}{c} \frac{\delta f^{in}}{\delta t}$$

$$f^{in}(r, \theta, \phi, t; \varepsilon^{in}, \mathbf{n}^{in})$$



- 衝突項は流体素片に載った系で計算したい

$$f^{co}(r, \theta, \phi, t; \varepsilon^{co}, \mathbf{n}^{co})$$

$$\frac{1}{c} \frac{\delta f^{co}}{\delta t}$$

- 反応率の等方性を利用できる
- 相対論: 各点でローレンツ変換が必要
 - ドップラー効果、光行差(エネルギー・角度分布が変わる)
放出吸収反応(テスト中)、散乱反応(定式化)
→エネルギーシフトにより、三重ブロック対角行列へ

3D計算のステップ

- 流体計算と組み合わせ、重力崩壊計算へ
 - 必要なニュートリノ反応を絞る
 - 流体コード、結合の方法
- 2D, 3D流体計算のプロファイルでのテスト
 - ニュートリノフラックス、加熱率の計算
 - 拡散近似、ray-by-ray近似との比較
- ローレンツ変換無しでできる計算
 - 軸対称原始中性子星の準静的冷却
- ローレンツ変換の組み込み
 - 1Dプロファイルでのテスト・比較

まとめ

- **3次元ニュートリノ輻射輸送計算コード**
 - ボルツマン方程式を陰解法で解く
 - 拡散から自由伝搬まで扱える
 - 移流項、衝突項、ニュートリノ反応のテスト
- **今後の計画(要議論)**
 - 静的な状況でのニュートリノ輻射輸送
 - 近似法、ニュートリノ加熱の評価、原始中性子星冷却
 - 流体計算と統合
 - 3D計算のスナップショット、重力崩壊のテスト
- **世界初の3次元重力崩壊・爆発計算へ**
 - 超並列計算、行列解法アルゴリズム